

TCPフィンガープリントによる 悪意のある通信の分析

早稲田大学大学院 基幹理工学研究科
木佐森幸太、下田晃弘、森達哉、後藤滋樹

研究の背景

- ▶ ボットの脅威の拡大、検出の難しさ
- ▶ カーネルマルウェアの増加
 - ▶ 最も権限の高いレベル(Ring0)で動作し、メモリ、CPU 命令、すべてのハードウェアデバイスへのフルアクセスが可能なマルウェア
 - ▶ すべてがカーネルモードドライバで実装され、コードのすべてが Ring0 で実行されるものをフルカーネルマルウェア(FKM) と呼ぶ
 - ▶ FKMは既存OSのTCP/IP実装とは異なる独自のネットワークドライバを実装

※Ring0: CPU の動作モードの中で最も高いレベル。一般にOSのカーネルはRing0で動作する。

研究の目的

- ▶ TCPヘッダを分析することにより、FKM(フルカーネルマルウェア)の可能性のある感染ホストを検出する手法を提案する
- ▶ 今回は、CCC DATASETからFKMの可能性のあるシグネチャを抽出し、その有効性をCCC DATASET およびその他の実計測データで示す

※CCC = Cyber Clean Center

分析手法

- ▶ FKMは既存OSとは異なる独自のネットワークドライバを実装しているため、TCP/IP ヘッダを分析することで識別できるケースがある
 - ▶ cf. The Rise and Fall of Reactor Mailer
http://projects.csail.mit.edu/spamconf/SC2009/Henry_Stern/
- ▶ CCC DATASETの攻撃通信データを分析することで、既存OSと異なる実装による(FKMの可能性もある)通信を抽出、分析する
- ▶ 分析の手段としてPassive TCP fingerprintingを用いる

Passive TCP fingerprinting

- ▶ TCP/IP の仕様はRFC で定義されているが、OS 毎にその実装は異なる
- ▶ fingerprintingとは、通信の特徴から対象システムのOSを推定する技術
 - ▶ active: 対象システムに対して通信を行い、得られたデータからOSを推定する(nmapが有名)
 - ▶ passive: 対象システムに対して通信を行わず、取得済みの通信データを分析してOSを推定する
- ▶ 今回はp0fというツールを用い、Passive fingerprintingを行った

p0f

- ▶ p0fにはいくつかのモードがあるが、今回用いたのはSYNパケットを分析対象とするモード
- ▶ 判定に用いるのは以下のデータ
 - ▶ ウィンドウサイズ
 - ▶ TTL の初期値
 - ▶ Don't Fragment ビット
 - ▶ SYN パケット全体のサイズ
 - ▶ TCP オプション(NOP、EOL、ウィンドウスケール、最大セグメントサイズ、SACK、タイムスタンプ等)
 - ▶ その他特徴的な点など
- ▶ これらを集約し、シグネチャとしてデータベース化している

CCC DATASETの分析

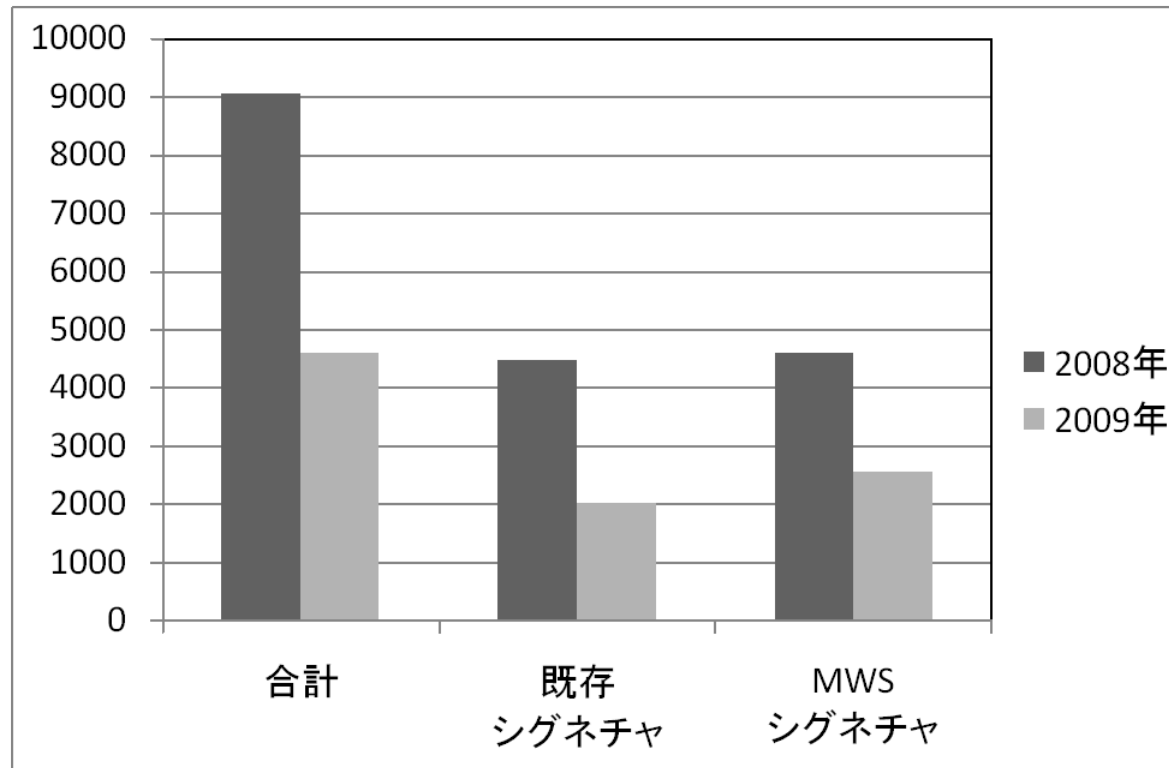
- ▶ 分析対象: CCC DATASET 2008, 2009の攻撃通信データ
- ▶ p0fを適用した結果、既存のOSではない、UNKNOWNであると判定されたシグネチャが多数得られた
 - ▶ TTLを2の累乗の値に切り上げ、初期値として推定、集約
 - ▶ アウトバウンド1種、インバウンド43種のシグネチャが得られた
- ▶ UNKNOWNのシグネチャを総称して、MWSシグネチャと呼ぶこととする
- ▶ 以後、インバウンドの通信のみを分析対象とする

MWSシグネチャの例

- ▶ 60352:64:0:52:MI240,N,W2,N,N,S::MWVS:60352_I
 - ▶ ウィンドウサイズが60352バイト
 - ▶ TTLの初期値が64
 - ▶ Don't Fragmentビットが0
 - ▶ SYNパケット全体のサイズが52バイト
 - ▶ 以下のオプションが設定されている
 - ▶ 最大セグメントサイズ、NOPオプション、ウィンドウスケールオプション、SACK
 - ▶ その他の特徴はなし
 - ▶ OSの名称、詳細(バージョン等)
 - ▶ 今回は、ウィンドウサイズの値により分類し、名称を付けた

CCC DATASETの分析：全体(1)

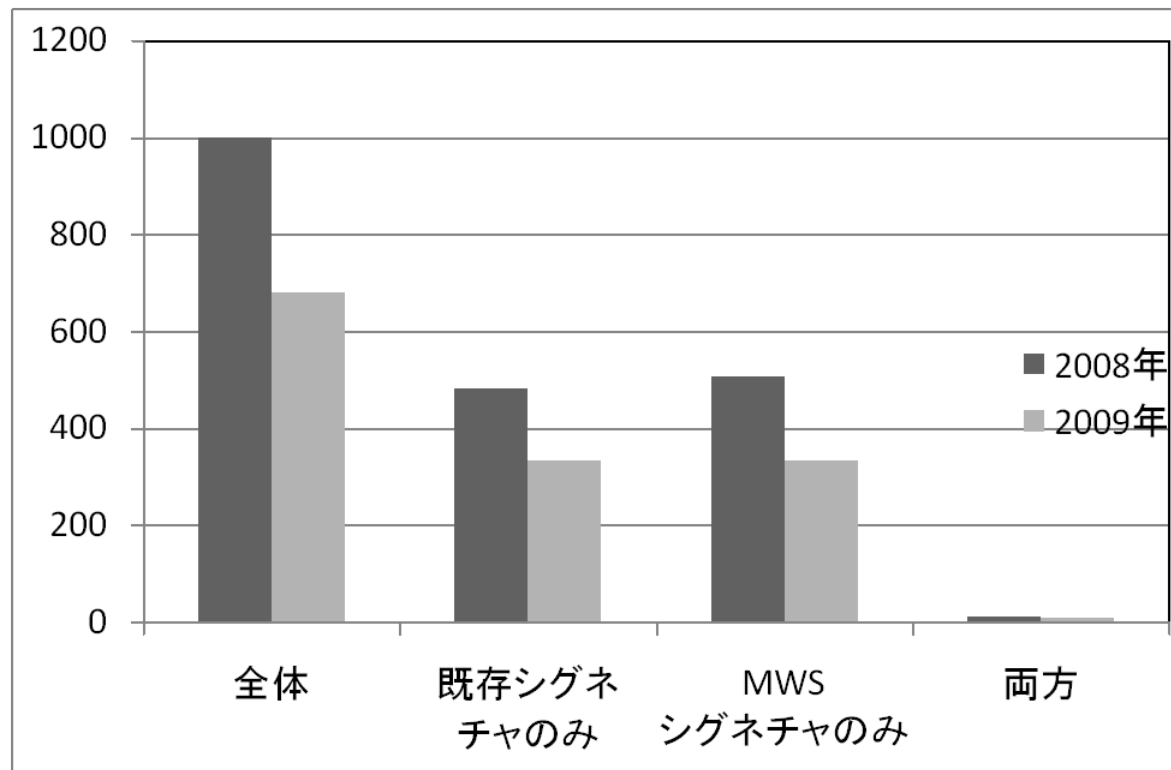
- ▶ 既存シグネチャ、MWSシグネチャのSYNパケット数の比較
 - ▶ 2009年度は2008年度に比べ全体的に通信量が減少している
 - ▶ 両年度とも、SYNパケットの半分以上がMWSシグネチャによるもの



CCC DATASETの分析：全体(2)

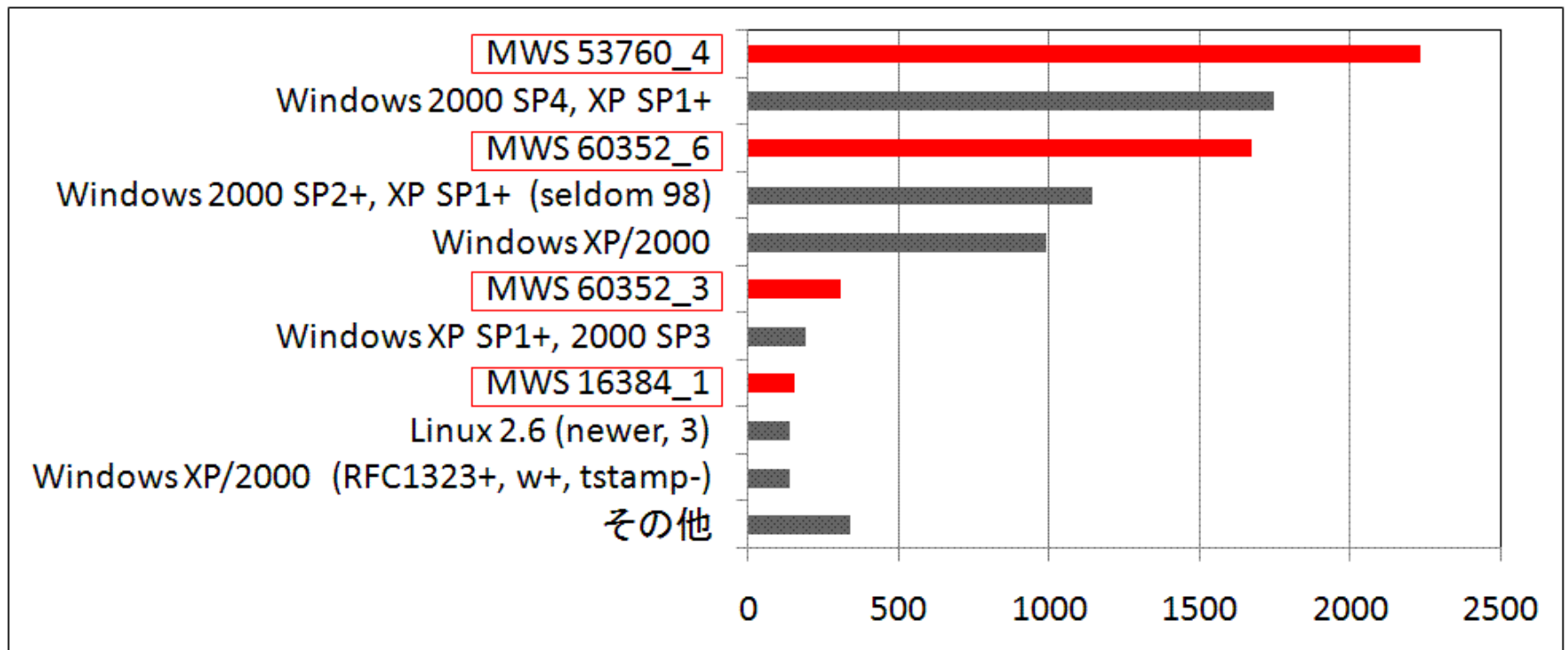
▶ シグネチャ毎の送信元IPアドレス数

- ▶ SYNパケット数ほどではないが全体的に減少している
- ▶ 送信元ホストの半分以上がMWSシグネチャによる通信をしている



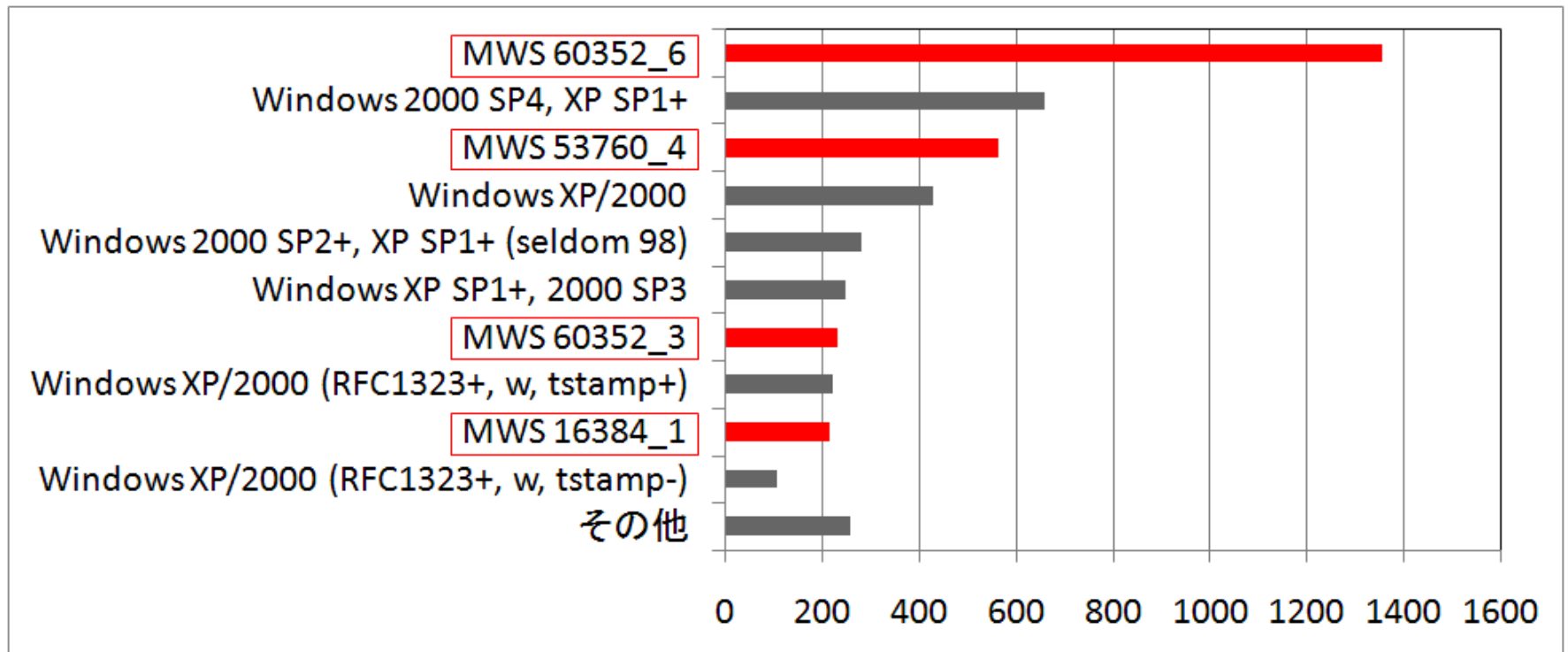
CCC DATASETの分析： シグネチャ別SYNパケット数(1)

▶ シグネチャ毎のSYNパケット数(2008)



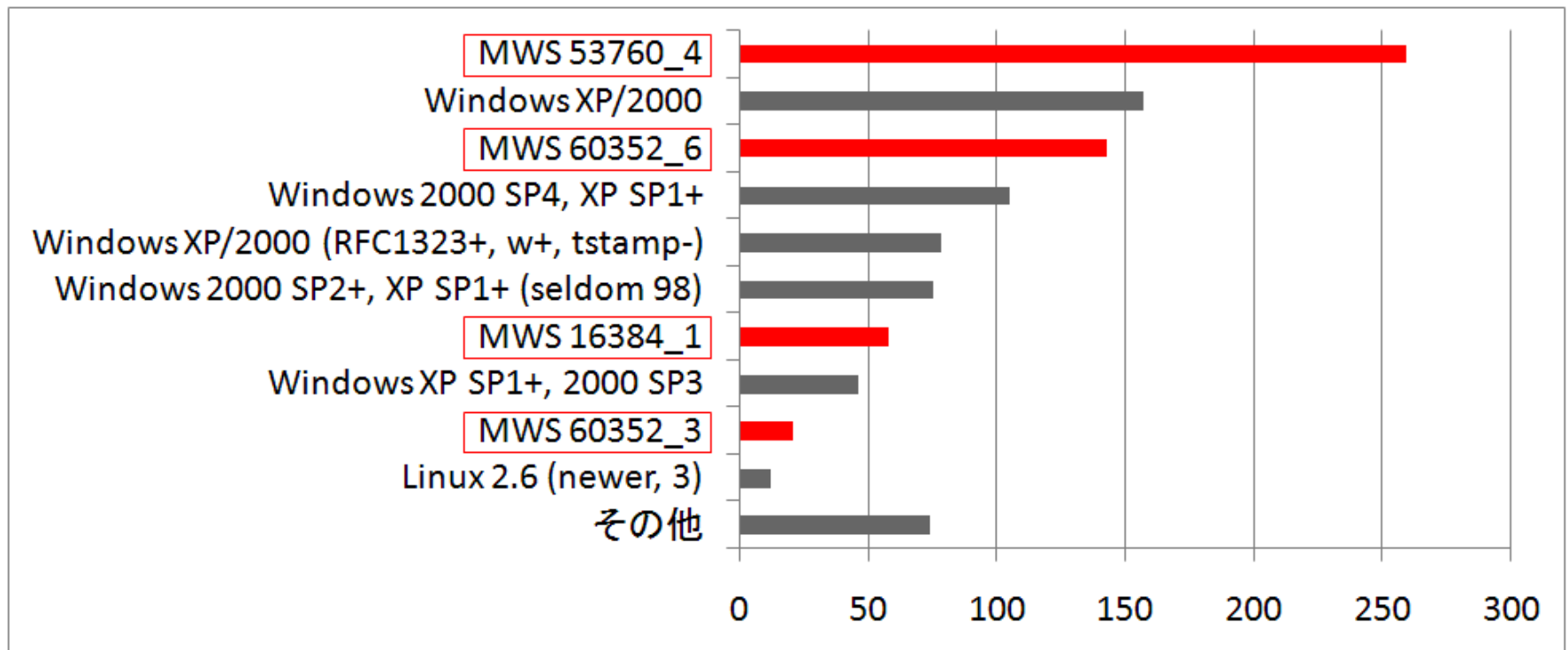
CCC DATASETの分析： シグネチャ別SYNパケット数(2)

▶ シグネチャ毎のSYNパケット数(2009)



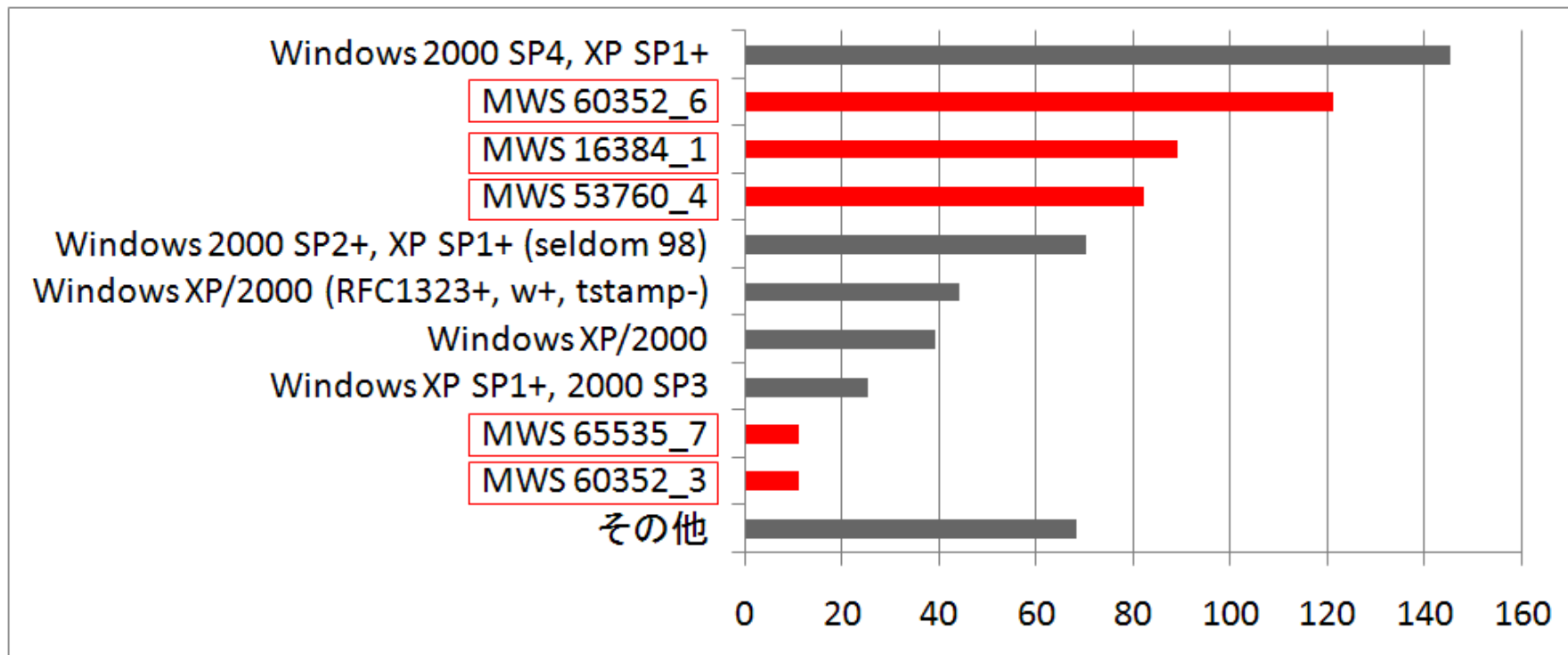
CCC DATASETの分析： シグネチャ別送信元IP数 (1)

▶ シグネチャ毎の送信元IP数(2008)

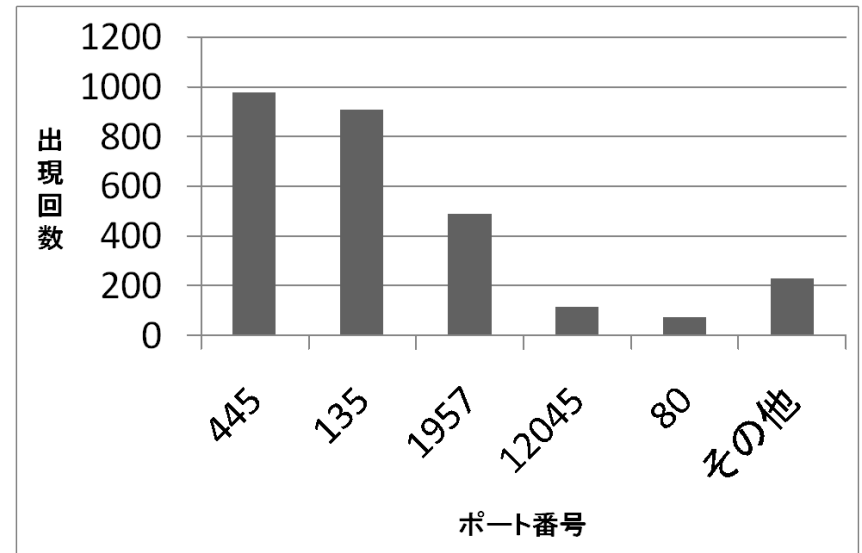
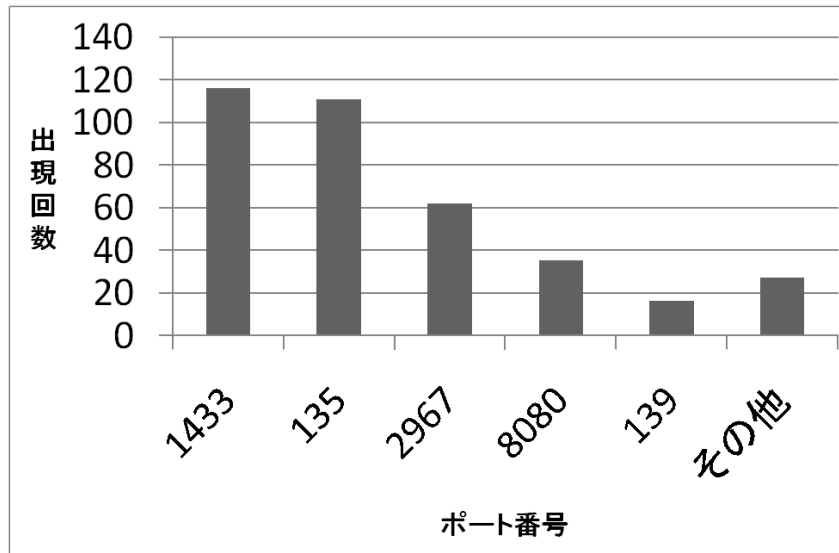


CCC DATASETの分析： シグネチャ別送信元IP数 (2)

▶ シグネチャ毎の送信元IP数(2009)

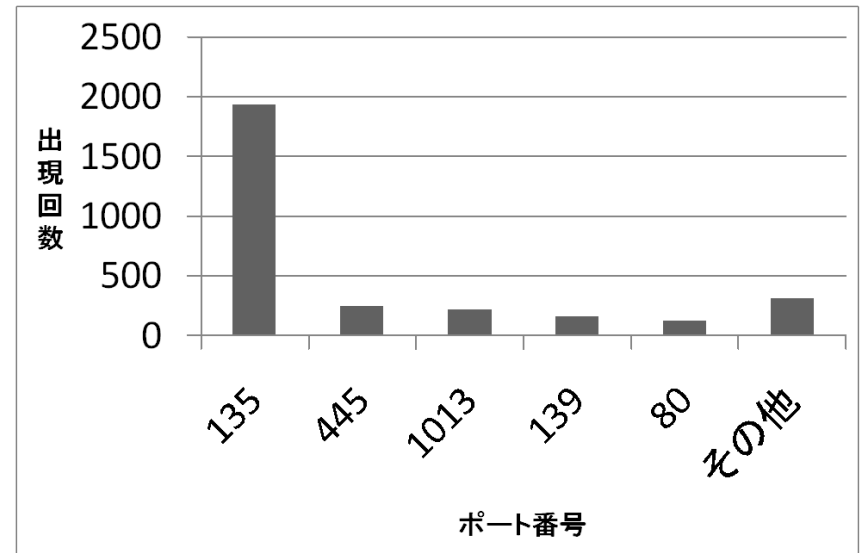
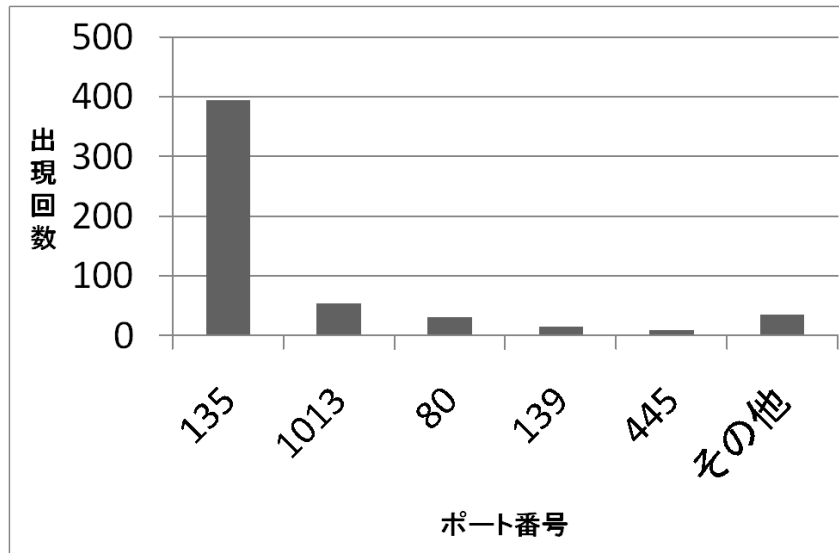


CCC DATASETの分析： MWSシグネチャの送信先ポート(2009) (1)



- ▶ 両年度を通じて登場頻度の高いシグネチャについて、2009年のデータにおける送信先ポートを分析
- ▶ 左：16384_1、右：53760_4

CCC DATASETの分析： MWSシグネチャの送信先ポート(2009) (2)



- ▶ 左: 60352_3、右: 60352_6
- ▶ 135、139、445、1433、2967の各ポートについては、それぞれに応じた脆弱性があることが知られている

CCC DATASETの分析： 頻度の高い通信パターンの分析(1)

- ▶ ホストAはMWSシグネチャ60352_6で通信
 - ▶ 以下SYNパケットのみ

21:26:41 ホストA:9109 -> ハニーポットA:135 (scan)

21:26:41 ホストA:9110 -> ハニーポットA:135 (rpc)

21:26:43 ホストA:9197 -> ハニーポットA:135 (rpc)

21:26:43 ホストA:9203 -> ハニーポットA:1013 (シェルコード送信)

21:26:43 ハニーポットA:1028 -> ホストA:3450 (malware 要求)

21:26:43 ハニーポットA:1028 -> ホストA:3450 (malware 要求)

※各行冒頭はタイムスタンプ

CCC DATASETの分析： 頻度の高い通信パターンの分析(2)

▶ ホストBはMWSシグネチャMWS 53760_4で通信

00:35:11 ホストB:56101 -> ハニーポットB:135 (rpc)

00:35:13 ハニーポットB:1027 -> ホストB:47602 (malware 要求)

00:35:13 ハニーポットB:1027 -> ホストB:47602 (malware 要求)

▶ CCC DATASETの攻撃元データに、ダウンロードが成功した記録が残されている

2009-03-13 00:35:13, ハニーポットB,1027, ホストB,47602,
TCP,c925531e659206849bf7*****
PE_VIRUT.AV,C:¥WINNT¥system32¥csrs.exe

CCC DATASETの分析： 頻度の高い通信パターンの分析(3)

- ▶ ホストCは、最初のSYNパケットのみMWSシグネチャ16384_1で通信
 - ▶ 2つ目・3つ目のSYNパケットはWindowsのシグネチャであった

00:57:09 ホストC:6000 -> ハニーポットB:135 (scan)

00:57:13 ホストC:3197 -> ハニーポットB:135 (rpc)

00:57:15 ホストC:4139 -> ハニーポットB:135 (rpc)

CCC DATASETの分析： シグネチャ毎の通信内容

- ▶ 一度以上通信が成立したシグネチャについてまとめた表
- ▶ MWSシグネチャではftpとshellコード送信が多く、他はほとんどないことがわかる

シグネチャ	ftp	http	irc	shell	smb	sql
MWS 60352_6	232	0	0	558	0	0
MWS 53760_4	50	1	0	307	0	0
MWS 60352_3	38	0	0	66	0	0
MWS 65535_7	12	0	0	21	0	0
MWS 60352_2	0	0	0	18	0	0
MWS 60352_1	0	0	0	6	0	0

すべての通信	694	563	202	1660	9234	723
---------------	------------	------------	------------	-------------	-------------	------------

他のネットワーク通信データの分析： 早稲田大学(1)

- ▶ 早稲田大学の対外接続回線におけるすべての通信データ (SYNパケットのみ、7/1～7/7) を分析
- ▶ 今回抽出したシグネチャを適用したところ、44種のうち20種が検出された
- ▶ 全送信元IPアドレス954,100 に対し、MWSシグネチャを有するものは280(約0.03%)程度
- ▶ 多く発見されたシグネチャやその送信先ポートなどの傾向はCCC DATASETとは大幅に異なった
 - ▶ ファイアウォールの内側でデータの収集を行ったためと考えられる

他のネットワーク通信データの分析： 早稲田大学(2)

- ▶ MWSシグネチャはすべてDFビットが0であったが、これを1に変更して再度p0fを適用
- ▶ 44種のうち31種が検出された
- ▶ 全送信元IPアドレス954,100 に対し、これらのシグネチャを有するものは5300(約0.5%)程度に増加した

- ▶ CCC DATASETにて検出されたシグネチャは、既存OSのものも含めすべてDFビットが0であった
- ▶ DFビットは経路上のルータ等で書き換えられる可能性があるため、もともとはDFビットが1であった可能性もある
 - ▶ DFビットが1だとしても、MWSシグネチャと既存のシグネチャとはやはり異なる

他のネットワーク通信データの分析： 企業のsmtpデータ

- ▶ ある企業網の電子メールサーバに接続したネットワークセグメントで収集したTCPヘッダデータ(SYNパケットのみ、3/1～3/31)を分析
- ▶ 全通信元IPアドレス1,230,830に対し、MWSシグネチャを有するものはわずか53
- ▶ これらのIPから発信されたものはほとんどスパムメールであった
 - ▶ マルウェアの構成によってはスパム送信モジュールを搭載するものもあると考えられる
- ▶ MWSシグネチャのDFビットを1にして再度p0fを適用したところ、これらのシグネチャを有するIPは2877(約0.23%)まで増加した

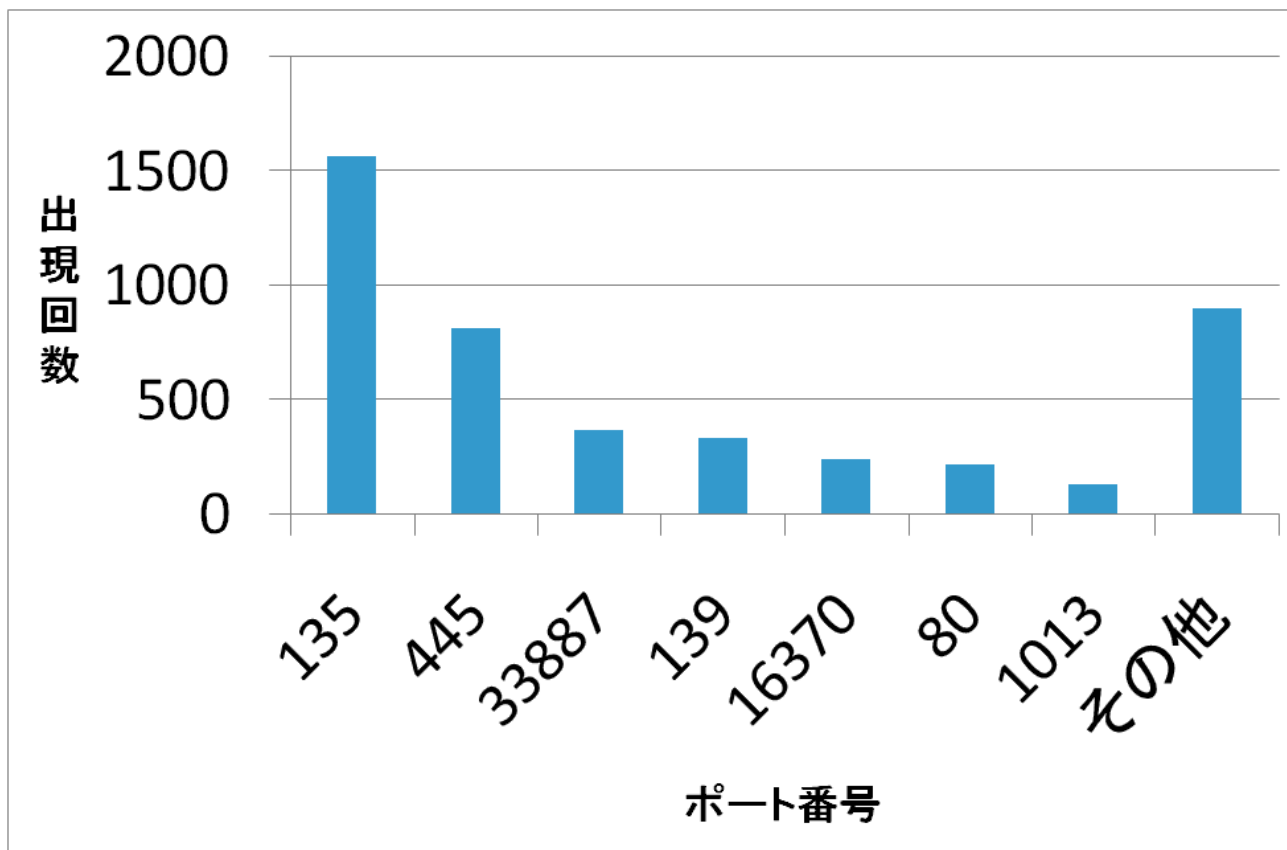
まとめ

- ▶ CCC DATASETからFKMの可能性がある(既存のTCPスタックと異なる実装である)シグネチャを抽出、通信の分析を行った
- ▶ これらのシグネチャによる攻撃通信が多数見られた
- ▶ 他のネットワーク上でもこれらのシグネチャが見られることが確認できた
 - ▶ 割合としては、各々送信元IPの1%未満
 - ▶ CCC DATASETは、実ネットワーク上の通信に比べ、これらのシグネチャによる通信の割合が非常に高い
- ▶ 今後の課題
 - ▶ シグネチャの詳細な検討、さらなる集約
 - ▶ ハニーポットを利用したFKMの収集と分析
 - ▶ 他のネットワーク通信データの詳細分析

▶ ご清聴ありがとうございました。

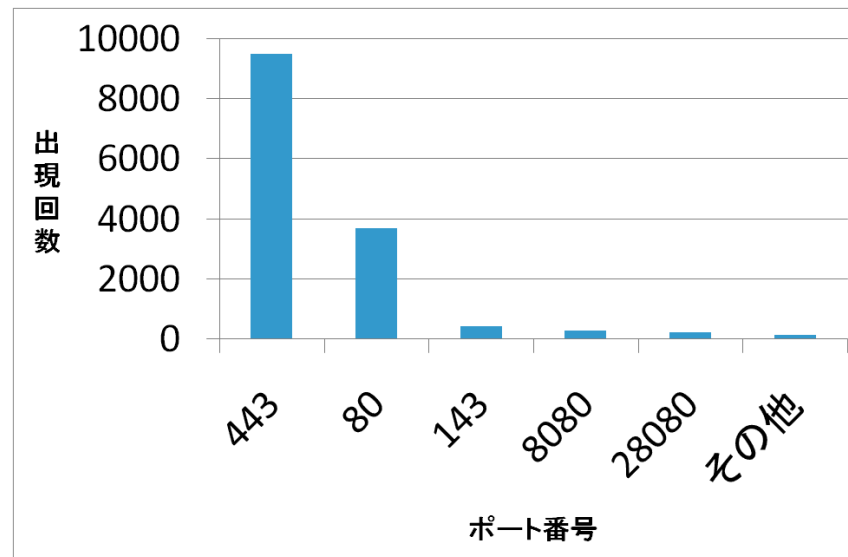
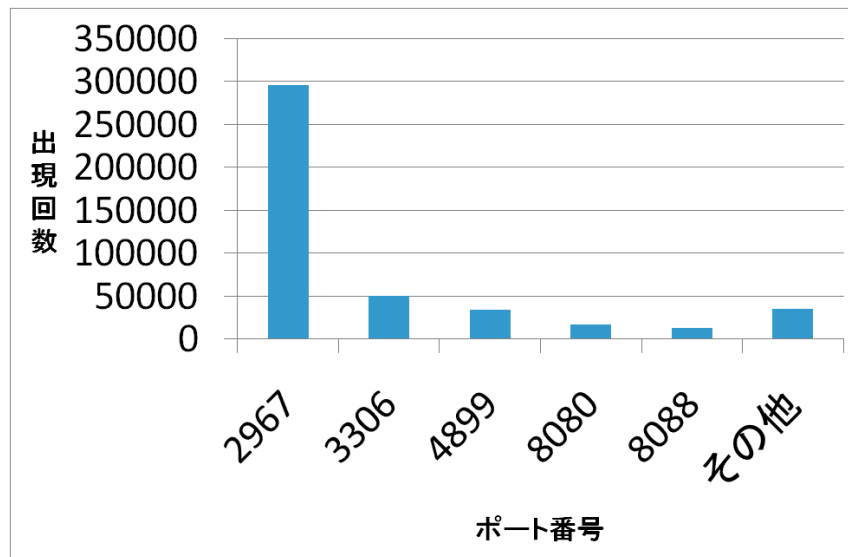
補足資料

CCC DATASETの分析： 送信先ポート(2009、全シグネチャ)



- ▶ MWSシグネチャは、135番ポートへの通信の8割以上、445番ポートへの通信の4割弱を占めていた

早稲田大学のデータで出現数が多かった シグネチャの送信先ポート分布



- ▶ 左(1位): 16384_1、右(2位): 65535_13
 - ▶ 16384_1はCCC DATASETでも上位にいたが、65535_13はCCC DATASETでは少数だった
 - ▶ 16384_1の送信ポート内訳はCCC DATASETとかなり異なる

企業のsmtpデータにおける MWSシグネチャの送信メール内訳

シグネチャ	スパム	ハム	IPアドレス数
[65535:64:0:52:M1414,N,W3,N,N,S:.]	29	0	9
[65535:64:0:52:M1414,N,W0,N,N,S:.]	252	0	8
[65535:32:0:64:M1414,N,W3,N,N,T0,N,N,S:.]	188	0	3
[65535:64:0:52:M1400,N,W2,N,N,S:.]	90	0	4
[65535:64:0:52:M1414,N,W2,N,N,S:.]	64	0	4
[16384:128:0:60:M1414,N,N,T0,N,N,S:.]	25	0	3
[16384:16:0:40:..]	21	0	1
[65535:64:0:52:M1412,N,W2,N,N,S:.]	16	0	7
[53760:64:0:64:M1414,N,W3,N,N,T0,N,N,S:.]	16	0	2
[65535:64:0:64:M1414,N,W2,N,N,T0,N,N,S:.]	9	9	1